

PRÍSTUPY MODELOVANIA SENDVIČOVEJ DOSKY S POVRCHOVÝMI LAMINÁTOVÝMI VRSTVAMI

© Kormaníková E., Ďuraj J., 2007

One special group of laminated composites used extensively in engineering applications are sandwich composites. The paper deals with the solution of 3-layered rectangular sandwich plate with laminated composite faces. There are described analytical and numerical approach of the modelling of sandwich plate with laminated composite faces. The assumptions involved in modelling the behaviour of the outer layers and the core result into a set of five differential equations. For application of the finite element method there were derived appropriate stiffness, stress and load matrices. The correctness of their implementation into the computer program is compared with program COSMOS/M.

Úvod. Sendvičové dosky patria v rámci klasifikácie kompozitných materiálov do skupiny konštrukčných kompozitov. Pozostávajú z troch vrstiev s rozdielnymi fyzikálnymi charakteristikami. Medzi ohybovo tuhými povrchovými vrstvami sa nachádza ohybovo mäkké jadro, ktoré je z materiálu s výrazne menšou hustotou. Kompozitnou skladbou sendvičovej dosky sa dosiahne jej relatívne veľká ohybová tuhosť pri súčasne nízkej špecifickej hmotnosti. Materiál jadra zároveň zlepšuje tepelné a zvukové izolačné vlastnosti konštrukčného prvku.

Predpoklady riešenia. Sendvič môže byť definovaný ako špeciálny laminát s tromi vrstvami. Povrchové vrstvy hrúbky h_1 , h_3 môžu byť ortotropné lamináty. Stredná vrstva – jadro hrúbky h_2 prenáša len šmyk v rovinách kolmých na strednicovú rovinu povrchových vrstiev. Predpoklady pre makromechanické modelovanie sendvičov sú:

- Hrúbka jadra je oveľa väčšia ako hrúbka povrchových vrstiev, $h_2 \gg h_1, h_3$
- Deformácie $\varepsilon_x, \varepsilon_y, \gamma_{xy}$ sú lineárne pozdĺž hrúbky sendvičového jadra:

$$\varepsilon(x, y, z) = \bar{\varepsilon}(x, y) + z\kappa(x, y) \quad -\frac{h_2}{2} \leq z \leq +\frac{h_2}{2} \quad (1)$$

• Povrchové vrstvy prenášajú len napätia $\sigma_x, \sigma_y, \tau_{xy}$. Priečne šmykové napätia τ_{xz}, τ_{yz} vo vonkajších vrstvách sú zanedbateľné.

- Napätia $\sigma_x, \sigma_y, \tau_{xy}$ v jadre sú rovné nule, deformácie ε_z sú vo všetkých vrstvách nulové.

Analytický prístup modelovania. Teraz pristúpime k definovaniu vnútorných síl:

$$N = \int_{-\frac{1}{2}h_2}^{\frac{1}{2}h_2+h_3} \sigma dz + \int_{-\left(\frac{1}{2}h_2+h_1\right)}^{\frac{1}{2}h_2} \sigma dz, \quad (2)$$

$$M = \int_{-\frac{1}{2}h_2}^{\frac{1}{2}h_2+h_3} \sigma z dz + \int_{-\left(\frac{1}{2}h_2+h_1\right)}^{\frac{1}{2}h_2} \sigma z dz, \quad (3)$$

$$V = \int_{-\frac{1}{2}h_2}^{\frac{1}{2}h_2} \pi dz. \quad (4)$$

Konštitučné rovnice pre sendvič sú v tvare:

$$\begin{pmatrix} N \\ M \\ V \end{pmatrix} = \begin{pmatrix} A & B & 0 \\ C & D & 0 \\ 0 & 0 & \bar{A} \end{pmatrix} \begin{pmatrix} \bar{\varepsilon} \\ \kappa \\ \gamma \end{pmatrix}, \quad (5)$$

s tuhostnými koeficientami:

$$\begin{aligned} A_{ij} &= A_{ij}^{(1)} + A_{ij}^{(3)}, & B_{ij} &= \frac{1}{2}h_2(A_{ij}^{(3)} - A_{ij}^{(1)}), \\ C_{ij} &= C_{ij}^{(1)} + C_{ij}^{(3)}, & D_{ij} &= \frac{1}{2}h_2(C_{ij}^{(3)} - C_{ij}^{(1)}), \end{aligned} \quad (6)$$

pričom:

$$A_{ij}^{(1)} = \int_{-\frac{1}{2}h_2}^{\frac{1}{2}h_2} E_{ij} dz = \sum_{k=1}^{n_1} E_{ij}^k h^k, \quad A_{ij}^{(3)} = \int_{\frac{1}{2}h_2}^{\frac{1}{2}h_2+h_3} E_{ij} dz = \sum_{k=1}^{n_2} E_{ij}^k h^k, \quad (7)$$

$$C_{ij}^{(1)} = \int_{-\frac{1}{2}h_2}^{\frac{1}{2}h_2} E_{ij} z dz = \sum_{k=1}^{n_1} E_{ij}^k h^k \bar{z}, \quad C_{ij}^{(3)} = \int_{\frac{1}{2}h_2}^{\frac{1}{2}h_2+h_3} E_{ij} z dz = \sum_{k=1}^{n_2} E_{ij}^k h^k \bar{z}, \quad (8)$$

$$\bar{A}_{ij} = E_{ij}^t h_2 \quad i, j=4,5, \quad (9)$$

$${}^k \bar{z} = ({}^k z + {}^{k-1} z) / 2, \quad (10)$$

n_1 a n_2 sú počty vrstiev laminátov, ktoré tvoria spodnú a hornú vrstvu sendviča; E_{ij}^t sú šmykové moduly pružnosti jadra ${}^k E_{ij}$ je prvok matice elastických konštánt k-tej vrstvy; ${}^k h$ je hrúbka k-tej vrstvy laminátu.

Šmykovú deformáciu jadra vyjadríme podľa zavedených predpokladov vzťahmi:

$$\gamma_{xz2} = \left(\frac{u_1 - u_3}{d} + \frac{\partial w}{\partial x} \right) = \left(\psi + \frac{\partial w}{\partial x} \right), \quad (11)$$

$$\gamma_{yz2} = \left(\frac{v_1 - v_3}{d} + \frac{\partial w}{\partial y} \right) = \left(\varphi + \frac{\partial w}{\partial y} \right), \quad (12)$$

kde d je vzdialenosť strednicových rovín povrchových vrstiev:

$$d = h_2 + \frac{h_1 + h_3}{2} \quad (13)$$

Konštitučné vzťahy (5) pre sendvičový kompozit sú podobné konštitučným vzťahom laminátov, v ktorých je zahrnutý vplyv priečného šmyku. Líšia sa len vzťahom pre výpočet prvkov C_{ij} namiesto B_{ij} ktoré spôsobujú nesymetriu v matici tuhosti pri použití teórie laminátov.

V prípade symetrického sendviča, kde $h_1 = h_3 = h^f$, $A_{ij}^{(1)} = A_{ij}^{(3)} = A_{ij}^f$, $C_{ij}^{(1)} = -C_{ij}^{(3)} = C_{ij}^f$, môžeme prvky vo vzťahu (6) zapísať:

$$A_{ij} = 2A_{ij}^f, \quad D_{ij} = h_2 C_{ij}^f, \quad B_{ij} = C_{ij} = 0, \quad (14)$$

teda nevzniká väzbový efekt medzi ťahom (tlakom) a ohybom a konštitučné vzťahy pre sendviče sú identické konštitučným vzťahom pre symetrické lamináty s vplyvom priečného šmyku – šmyková teória laminátov.

Numerický prístup modelovania. Riešenie sústavy lineárnych diferenciálnych rovníc, popisujúcich stav napätosti v sendvičovej doske s rôzne vystuženými vonkajšími vrstvami, v uzavretom tvare vo

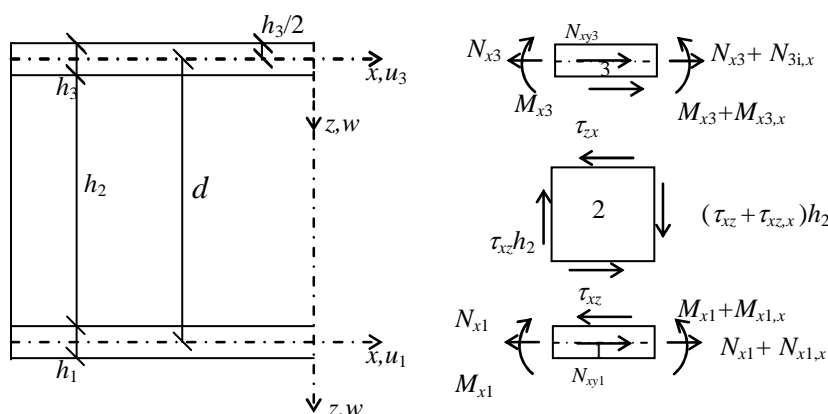
všeobecnosti nevieme realizovať, preto pri riešení týchto problémov s výhodou používame metódy, ktoré dostatočne presne aproximujú hľadané funkcie. V tomto riešení sme použili metódu konečných prvkov.

Podmienky rovnováhy vnútorných síl, ktoré pôsobia na diferenciálny sendvičový element (Obr. 1) majú tvar:

$$\frac{\partial N_{xi}}{\partial x} + \frac{\partial N_{yxi}}{\partial y} + \frac{\partial V_{zxi}^j}{\partial z} = 0, \quad \frac{\partial N_{xyi}}{\partial x} + \frac{\partial N_{yiy}}{\partial y} + \frac{\partial V_{zyi}^j}{\partial z} = 0, \quad \frac{\partial V_{xz}}{\partial x} + \frac{\partial V_{yz}}{\partial y} + p = 0, \quad (15)$$

pričom:

$$\begin{aligned} \frac{\partial V_{zx1}^j}{\partial z} &= -\tau_{zx}, & \frac{\partial V_{zx3}^j}{\partial z} &= \tau_{zx}, \\ \frac{\partial V_{xz}}{\partial z} &= \tau_{xz} h_2, & \frac{\partial V_{yz}}{\partial z} &= \tau_{yz} h_2. \end{aligned} \quad (16)$$



Obr. 1: Merné vnútorné sily na sendvičovom elemente v rovine (x,z)

Systém piatich diferenciálnych rovníc korešponduje s piatimi nezávislými premiestneniami a vyplynie z podmienok rovnováhy vnútorných síl, ktoré pôsobia na jednotlivé vrstvy diferenciálneho elementu, v tvare:

$$\begin{aligned} A_{11}^{(1)} \frac{\partial^2 u_1}{\partial x^2} + 2A_{14}^{(1)} \frac{\partial^2 u_1}{\partial x \partial y} + A_{44}^{(1)} \frac{\partial^2 u_1}{\partial y^2} + A_{14}^{(1)} \frac{\partial^2 v_1}{\partial x^2} + (A_{12}^{(1)} + A_{44}^{(1)}) \frac{\partial^2 u_1}{\partial x \partial y} + A_{24}^{(1)} \frac{\partial^2 v_1}{\partial y^2} - B_{11}^{(1)} \frac{\partial^3 w}{\partial x^3} - \\ - 3B_{14}^{(1)} \frac{\partial^3 w}{\partial x^2 \partial y} - (B_{14}^{(1)} + 2B_{44}^{(1)}) \frac{\partial^3 w}{\partial x \partial y^2} - B_{24}^{(1)} \frac{\partial^3 w}{\partial y^3} - {}^t E_{55} \left(\frac{\partial w}{\partial x} + \psi \right) - {}^t E_{56} \left(\frac{\partial w}{\partial y} + \varphi \right) = 0, \end{aligned} \quad (17)$$

$$\begin{aligned} A_{22}^{(1)} \frac{\partial^2 v_1}{\partial y^2} + (A_{12}^{(1)} + A_{44}^{(1)}) \frac{\partial^2 u_1}{\partial x \partial y} + A_{24}^{(1)} \frac{\partial^2 u_1}{\partial y^2} + A_{44}^{(1)} \frac{\partial^2 v_1}{\partial x^2} + 2A_{24}^{(1)} \frac{\partial^2 u_1}{\partial x \partial y} + A_{22}^{(1)} \frac{\partial^2 v_1}{\partial y^2} - B_{14}^{(1)} \frac{\partial^3 w}{\partial x^3} - \\ - (B_{14}^{(1)} + 2B_{44}^{(1)}) \frac{\partial^3 w}{\partial x^2 \partial y} - 3B_{14}^{(1)} \frac{\partial^3 w}{\partial x \partial y^2} - B_{22}^{(1)} \frac{\partial^3 w}{\partial y^3} - {}^t E_{56} \left(\frac{\partial w}{\partial x} + \psi \right) - {}^t E_{66} \left(\frac{\partial w}{\partial y} + \varphi \right) = 0, \end{aligned} \quad (18)$$

$$\begin{aligned} A_{11}^{(3)} \frac{\partial^2 u_3}{\partial x^2} + 2A_{14}^{(3)} \frac{\partial^2 u_3}{\partial x \partial y} + A_{44}^{(3)} \frac{\partial^2 u_3}{\partial y^2} + A_{14}^{(3)} \frac{\partial^2 v_3}{\partial x^2} + (A_{12}^{(3)} + A_{44}^{(3)}) \frac{\partial^2 u_3}{\partial x \partial y} + A_{24}^{(3)} \frac{\partial^2 v_3}{\partial y^2} - B_{11}^{(3)} \frac{\partial^3 w}{\partial x^3} - \\ - 3B_{14}^{(3)} \frac{\partial^3 w}{\partial x^2 \partial y} - (B_{14}^{(3)} + 2B_{44}^{(3)}) \frac{\partial^3 w}{\partial x \partial y^2} - B_{24}^{(3)} \frac{\partial^3 w}{\partial y^3} + {}^t E_{55} \left(\frac{\partial w}{\partial x} + \psi \right) + {}^t E_{56} \left(\frac{\partial w}{\partial y} + \varphi \right) = 0, \end{aligned} \quad (19)$$

$$\begin{aligned} A_{22}^{(3)} \frac{\partial^2 v_3}{\partial y^2} + (A_{12}^{(3)} + A_{44}^{(3)}) \frac{\partial^2 u_3}{\partial x \partial y} + A_{24}^{(3)} \frac{\partial^2 u_3}{\partial y^2} + A_{44}^{(3)} \frac{\partial^2 v_3}{\partial x^2} + 2A_{24}^{(3)} \frac{\partial^2 u_3}{\partial x \partial y} + A_{22}^{(3)} \frac{\partial^2 v_3}{\partial y^2} - B_{14}^{(3)} \frac{\partial^3 w}{\partial x^3} - \\ - (B_{14}^{(3)} + 2B_{44}^{(3)}) \frac{\partial^3 w}{\partial x^2 \partial y} - 3B_{14}^{(3)} \frac{\partial^3 w}{\partial x \partial y^2} - B_{22}^{(3)} \frac{\partial^3 w}{\partial y^3} + {}^t E_{56} \left(\frac{\partial w}{\partial x} + \psi \right) + {}^t E_{66} \left(\frac{\partial w}{\partial y} + \varphi \right) = 0, \end{aligned} \quad (20)$$

$$\bar{A}_{55} \left(\frac{\partial^2 w}{\partial x^2} + \frac{\partial \psi}{\partial x} \right) + \bar{A}_{56} \left(\frac{\partial^2 w}{\partial x \partial y} + \frac{\partial \varphi}{\partial x} \right) + \bar{A}_{65} \left(\frac{\partial^2 w}{\partial x \partial y} + \frac{\partial \psi}{\partial y} \right) + \bar{A}_{66} \left(\frac{\partial^2 w}{\partial y^2} + \frac{\partial \varphi}{\partial y} \right) + q = 0 \quad (21)$$

kde vzťahy pre prvky matice **A**, **B**, **D** a $\bar{\mathbf{A}}$ sú popísané v (6) - (9).

Porovnávací príklad. Kíbovo podopretá sendvičová doska s rozmermi $L=1\text{m}$, $H=0,8\text{m}$ (Obr. 2), hrúbky $h=0,03\text{m}$ je zaťažaná rovnomerným spojitém zaťažením s intenzitou 15kPa v ohybovej rovine. Materiálové vlastnosti strednej vrstvy sú uvedené v Tab. 1. Horná a spodná vrstva je vytvorená z laminátu $[0/45/-45/90]_s$, ktorého materiálové vlastnosti sú uvedené v Tab. 2.

Tab.1

Materiálové konštanty strednej vrstvy

G_2 [MPa]	ν_2
16,154	0,3

Tab. 2

Materiálové konštanty vrstvy laminátu

E_1 [GPa]	E_2 [GPa]	G_{12} [GPa]	ν_{12}
140,766	12,335	6,457	0,38

Riešime symetrický sendvič so symetricky usporiadanými vrstvami v okrajových laminátových vrstvách, teda neprejavuje sa tu väzbový efekt. Nami získané výsledky porovnávame programovým systémom COSMOS/M (COS) pri použití náhradného ekvivalentu namiesto vrstiev laminátu. Pozorujeme tu skoky v priebehu napätí okrajových vrstiev vplyvom rôzneho vystuženia vrstiev laminátu (Obr. 3).

Tab. 3

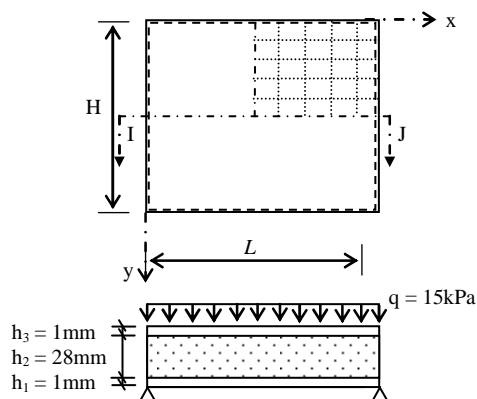
Materiálové konštanty hornej a spodnej vrstvy náhradného ekvivalentu laminátu

E_x [GPa]	E_y [GPa]	G_{xy} [GPa]	ν
56,35	56,35	21,426	0,315

Tab. 4

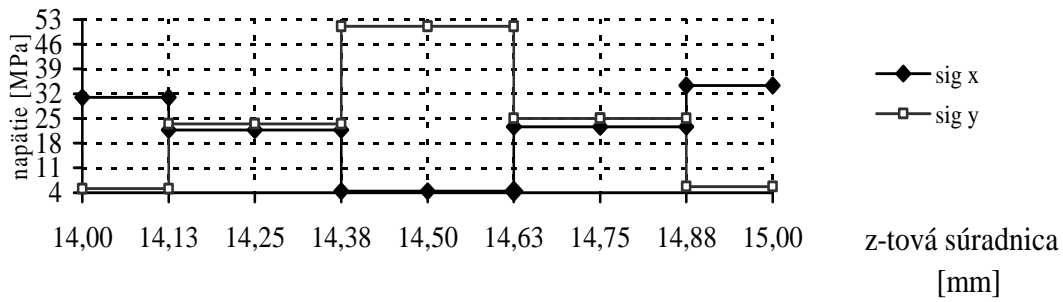
Merné vnútorné sily v strede dosky

N_{x1} [kNm ⁻¹]	N_{y1} [kNm ⁻¹]	N_{xy1} [kNm ⁻¹]	N_{x3} [kNm ⁻¹]	N_{y3} [kNm ⁻¹]	N_{xy3} [kNm ⁻¹]
20,43	26,11	0,0	-20,43	-26,11	0,0
V_{xz2} [kNm ⁻¹]	V_{yz2} [kNm ⁻¹]	M_{x13} [kNm.m ⁻¹]	M_{y13} [kNm.m ⁻¹]	M_{xy13} [kNm.m ⁻¹]	
0,0	0,0	$2,763 \cdot 10^{-4}$	$1,417 \cdot 10^{-4}$	$3,528 \cdot 10^{-5}$	



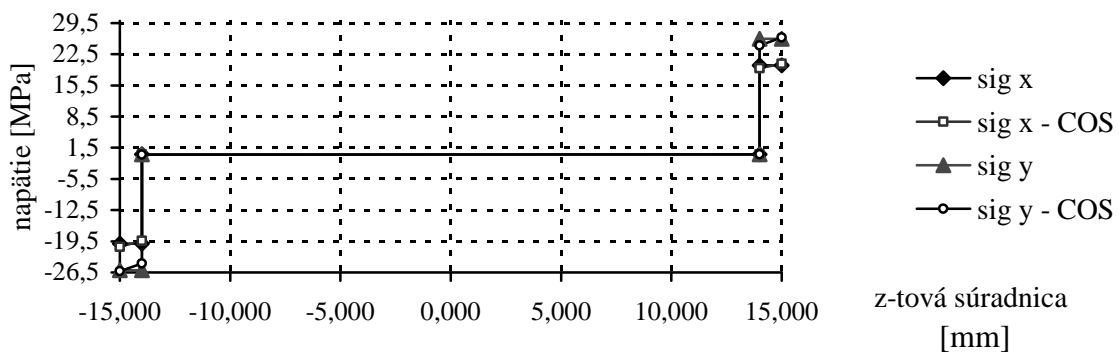
Obr. 2: Geometria a vystuženie jednoducho podopretej sendvičovej dosky

Napätie sig x , sig y v strede sendvičovej dosky



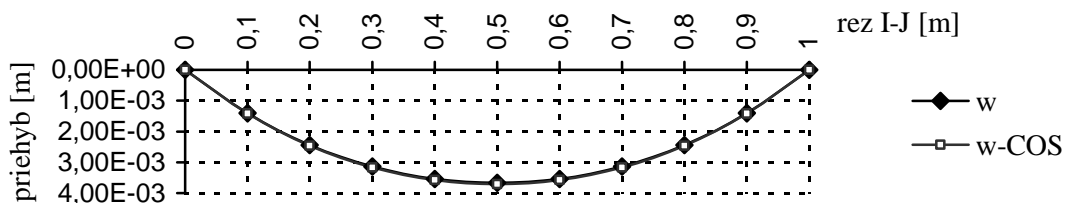
Obr. 3: Priebeh napätí po hrúbke spodnej vrstvy sendviča (vrstiev laminátu)

Napätie sig x , sig y v strede sendvičovej dosky



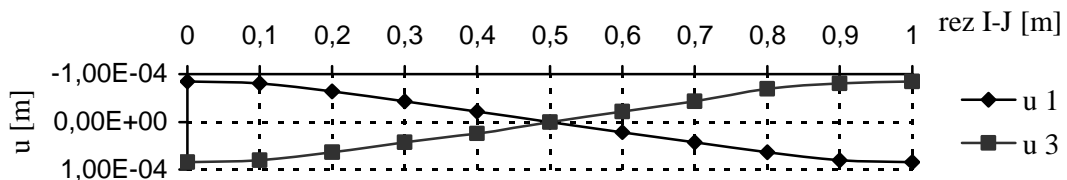
Obr. 4: Priebeh napätí po hrúbke sendviča pri použití náhradného ekvivalentu laminátu

Priehyb w pozdĺž rezu I-J

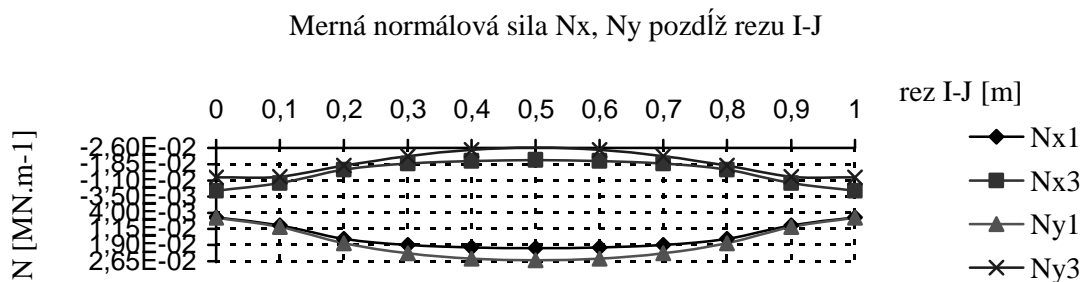


Obr. 5: Priebeh priehybov w v reze I-J

Posunutie u1, u3 pozdĺž rezu I-J



Obr. 6: Priebeh posunutí u v reze I-J



Obr. 7: Priebeh merných normálových síl v spodnej (1) a hornej (3) vrstve pozdĺž rezu I-J

Záver. V článku je uvedený analytický a numerický prístup modelovania sendvičovej dosky s okrajovými vrstvami vytvorenými z laminátov. Sú zavedené predpoklady riešenia, ktoré sú vhodné pre veľmi tenké okrajové vrstvy. Výpočet bol kontrolovaný programovým systémom COSMOS/M. Boli dopočítané efektívne materiálové charakteristiky náhradného ekvivalentu, ktoré boli implementované do výpočtu.

Príspevok vznikol v rámci riešenia VEGA 1/4202/07.

1. Agarwal, B. D. - Broutman, L. J.: *Vláknové kompozity*, Praha, 1987. 2. Altenbach, H. - Altenbach, J. - Kissing, W.: *Structural analysis of laminate and sandwich beams and plates*, Lublin, 2001. 3. Lovíšek, J.: *Optimal control of a variational inequality with controls in coefficients. Applications to structural analysis – Mindlin- Timoshenko plate*, ZAMM-Z. angew. Math. Mech. 74(1994) 8, str. 307-324. 4. Ďuraj, J., Tóthová, D., Kormaníková, E.: *Numerická analýza pružne podopretej obdĺžnikovej sendvičovej dosky, Staticko-konštrukčné a stavebno-fyzikálne problémy stavebných konštrukcií*, Tatranská Lomnica, ISBN 80-232-0221-9, str. 241-246, 2003.

Kotrasová K.

Technická univerzita,
Ústav inžinierskeho staviteľstva,
Katedra stavebnej mechaniky,
Slovensko, 040 02 Košice, Vysokoškolská 4
E-mail: kamila.kotrasova@tuke.sk

NÁDRŽ, KVAPALINA A PODLOŽIE

© Kotrasová K., 2007

This article contains description of some methods for solution of response of vertical rectangular containment with fluid on the soil, which is subject to horizontal seismic loads. First part of the present article considers impulsive and convective components of the fluid with various dynamic behaviours. The special method of calculation of response of containment is described in further part of the paper. Computer-program Cosmos/M was used.

Úvod. Zemetrasenie samo o sebe nepredstavuje priame nebezpečenstvo pre človeka a životné prostredie. Dôsledkom zemetrasenia je pôsobenie pohybu zemského povrchu na existujúce stavby, ktorých porušenie až zrútenie spôsobuje rozsiahle následky. Aj vo väčšej vzdialenosti od epicentra môžu ešte